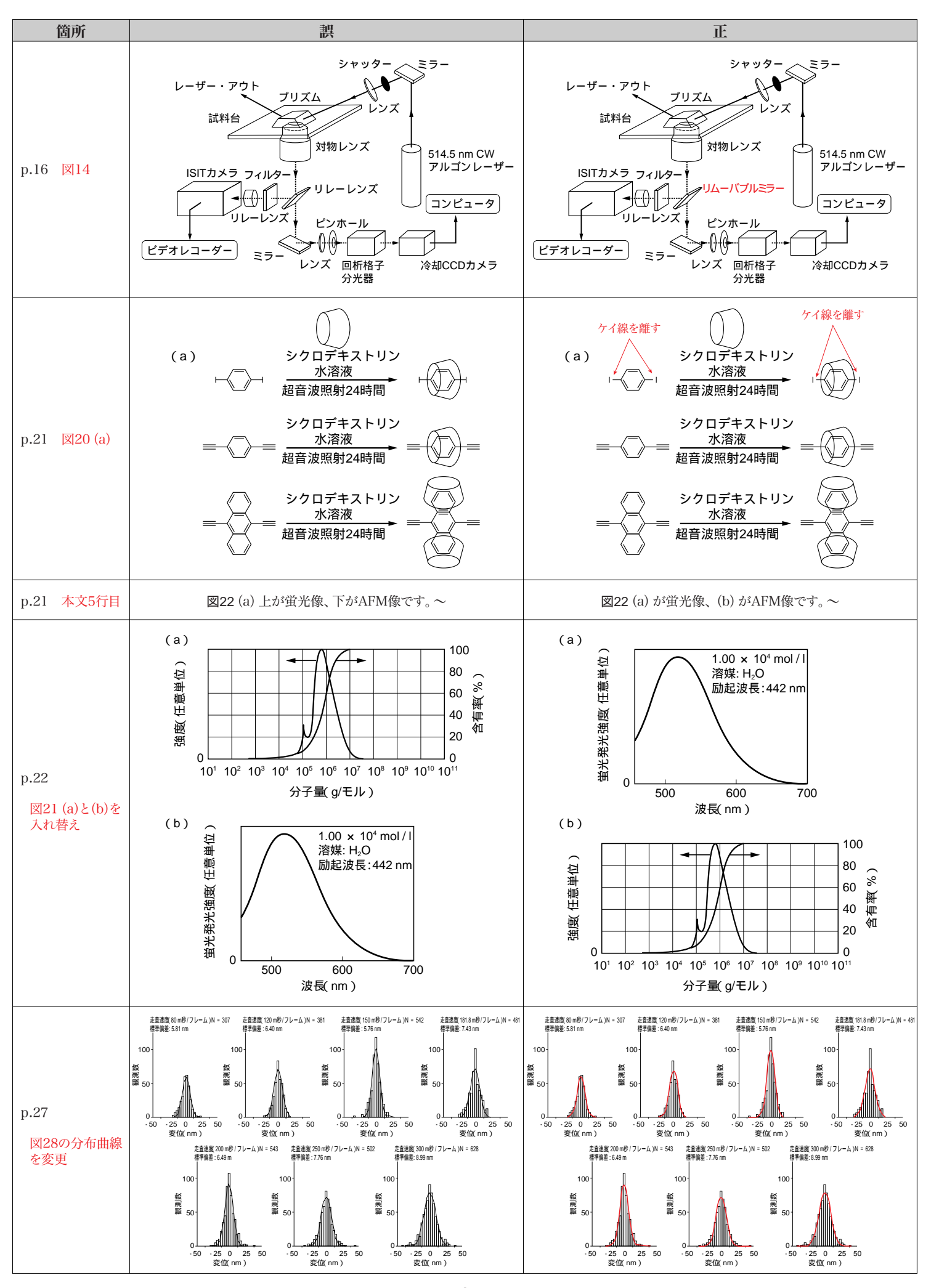
「高分子鎖1本のサイエンス [みる・はかる]」正誤表

下記に誤りがございましたことをお詫び申し上げます。 ㈱エヌ・ティー・エス

	下記に誤りがございましたことをお詫び申し上げます。 (株エヌ・ティー・エス		
箇所	製	正	
講師プロフィール 第1講 篠原健一 1行目 右	1996年4月~99年3月、(独)日本学術振興会特別研究員(新潟大学)。	1996年4月~97年3月、(独)日本学術振興会特別研究員 (新潟大学)。	
p.7 図5 (B) グラフ の位置 図5キャプション の出典	(B) a b b d d d d d d d d d d d d d d d d d	(B) a b b d d d d d d d d d d d d d d d d d	
	図5 (A)図4の拡大像、(B)a~b間のクロスセクション ²⁾ 出典:図4、 5ともK. Shinohara, S. yasuda, G. kato, M. Fujita, and H. Shigekawa, <i>J. Am. Chem. Soc.</i> 123 , 3619(2001).	図5 (A)図4の拡大像、(B)a~b間のクロスセクション ²⁾ 出典:図4、5ともK. Shinohara, S. Yasuda, G. Kato, M. Fujita, and H. Shigekawa, <i>J. Am. Chem. Soc.</i> 123 , 3619(2001).	
p.11 図9 (a)(b) (c) の脚注を削除	(a) (b) 2.5 (c) (c) (c) (d) (d) (d) (e) (d) (d) (e) (d) (d) (e) (e) (d) (d) (e) (d) (d) (e) (e) (d) (e) (e) (e) (e) (e) (e) (e) (e) (e) (e	(a) (b) 2.5 (c) (c) (c) (d) (d) (d) (d) (d) (d) (e) (d) (d) (d) (d) (d) (d) (d) (d) (d) (d	
	(a)回目のスキャンによるコンタクトAFM像 (b)2回目のスキャンによるコンタクトAFM像 (c)(a)の1・2のクロスセクション 図9 一本鎖の租密構造と長周期性 3)	図9 一本鎖の粗密構造と長周期性3)	
p.11 本文 下から3行目	図10 (a)、(b) 同様グラファイト~	図10 (a) 同様グラファイト~	
	(a) (b) (2,000 1,500 1,000 500 0 0 1,500 1,000 500 0 0 0 1,500 1,000 500 0 0 1,500 1,000 500 0 0 1,500 1,000 500 0 0 1,500 1,000 500 0 0 1,500 1,000 500 0 0 1,500 1,000 500 0 0 1,500 1,000 500 0 0 1,500 1,000 500 0 0 1,500 1,000 500 0 0 1,500 1,000 500 0 1,500 1,000 500 0 1,500 1,000 500 0 1,500 1,000 500 0 1,500 1,000 500 0 1,500 1,000 500 0 1,500 1,000 500 0 1,500 1,000 500 0 1,500 1,000 500 0 1,500 1,000 500 0 1,500 1,000 500 0 1,500 1,000 500 0 1,500 1,000 500 0 1,500 1,000 500 0 1,500 1,000 500 0 1,500 1,000 500 0 1,500 1,000 500 0 1,500 1,000 500 0 1,500 1,000 500 1,500 1,000 500 1,500 1,000 500 1,500 1,000 500 1,500 1,000 500 1,500 1,000 500 1,500 1,000 500 1,500 1,000 500 1,500 1,000 500 1,500 1,000 500 1,500 1,000 500 1,500 1,000 500 1,500 1,000 500 1,500 1,000 500 1,500 1,000 500 1,500 1,000 500 1,500 1,000 500 1,500 1,000 500 1,500 1,000 500 1,500 1,000 500 1,500 1,000 500 1,500 1,000 500 1,500 1,000 500 1,500 1,000 500 1,500 1,000 500 1,500 1,000 500 1,500 1,000 500 1,500 1,000 500 1,500 1,000 500 1,500 1,000 500 1,500 1,000 500 1,500 1,000 500 1,500 1,000 500 1,500 1,000 500 1,500 1,500 1,500 1,500 1,500 1,500 1,500 1,500 1,500 1,500 1,500 1,500 1,500 1,500 1,500 1,500 1,500 1,500 1,500 1,500 1,500 1,500 1,500 1,500 1,500 1,500 1,500 1,500 1,500 1,500 1,500 1,500 1,500 1,500 1,500 1,500 1,500 1,500 1,500 1,500 1,500 1,500 1,500 1,500 1,500 1,500 1,500 1,500 1,500 1,500 1,500 1,500 1,500 1,500 1,500 1,500 1,500 1,500 1,500 1,500 1,500 1,500 1,500 1,500 1,500 1,500 1,500 1,500 1,500 1,500 1,500 1,500 1,500 1,500 1,500 1,500 1,500 1,500 1,500 1,500 1,500 1,500 1,500 1,500 1,500 1,500 1,500 1,500 1,500 1,500 1,500 1,500 1,500 1,500 1,500 1,500 1,500 1,500 1,500 1,500 1,500 1,500 1,500 1,500 1,500 1,500 1,500 1,500 1,500 1,500 1,500 1,500 1,500 1,500 1,500 1,500 1,500 1,500 1,500 1,500 1,500 1,500 1,500 1,500 1,500 1,500 1,500 1,500 1,500 1,500 1,500 1,500 1,500 1,500 1,500 1,500 1,500 1,500 1,500 1,500 1,500 1,500 1,500 1,500 1,500 1,500 1,500 1,500 1,500 1,500 1,500 1,500 1,500 1,500 1,500 1,500 1,500	(a) (b) nm /2,000 /1,500 /1,000 /500 /1,500 /1,000 /500 /1,500 /1,000 /500 /1,000 /500 /1,000 /500 /1,000 /500 /1,000 /500 /1,000 /500 /1,000 /500 /1,000 /500 /1,000 /500 /1,000 /500 /1,000 /1,000 /1,000 /1,000 /1,000 /1,000 /1,000 /1,000 /1,000 /1,000 /1,000 /1,000 /1,000 /1,000 /1,000 /1,000 /1,000 /1,000 /1,000 /1,000 /1,000 /1,000 /1,000 /1,000 /1,000 /1,000 /1,000 /1,000 /1,000 /1,000 /1,000 /1,000 /1,000 /1,000 /1,000 /1,000 /1,000 /1,000 /1,000 /1,000 /1,000 /1,000 /1,000 /1,000 /1,000 /1,000 /1,000 /1,000 /1,000 /1,000 /1,000 /1,000 /1,000 /1,000 /1,000 /1,000 /1,000 /1,000 /1,000 /1,000 /1,000 /1,000 /1,000 /1,000 /1,000 /1,000 /1,000 /1,000 /1,000 /1,000 /1,000 /1,000 /1,000 /1,000 /1,000 /1,000 /1,000 /1,000 /1,000 /1,000 /1,000 /1,000 /1,000 /1,000 /1,000 /1,000 /1,000 /1,000 /1,000 /1,000 /1,000 /1,000 /1,000 /1,000 /1,000 /1,000 /1,000 /1,000 /1,000 /1,000 /1,000 /1,000 /1,000 /1,000 /1,000 /1,000 /1,000 /1,000 /1,000 /1,000 /1,000 /1,000 /1,000 /1,000 /1,000 /1,000 /1,000 /1,000 /1,000 /1,000 /1,000 /1,000 /1,000 /1,000 /1,000 /1,000 /1,000 /1,000 /1,000 /1,000 /1,000 /1,000 /1,000 /1,000 /1,000 /1,000 /1,000 /1,000 /1,000 /1,000 /1,000 /1,000 /1,000 /1,000 /1,000 /1,000 /1,000 /1,000 /1,000 /1,000 /1,000 /1,000 /1,000 /1,000 /1,000 /1,000 /1,000 /1,000 /1,000 /1,000 /1,000 /1,000 /1,000 /1,000 /1,000 /1,000 /1,000 /1,000 /1,000 /1,000 /1,000 /1,000 /1,000 /1,000 /1,000 /1,000 /1,000 /1,000 /1,000 /1,000 /1,000 /1,000 /1,000 /1,000 /1,000 /1,000 /1,000 /1,000 /1,000 /1,000 /1,000 /1,000 /1,000 /1,000 /1,000 /1,000 /1,000 /1,000 /1,000 /1,000 /1,000 /1,000 /1,000 /1,000 /1,000 /1,000 /1,000 /1,000 /1,000 /1,000 /1,000 /1,000 /1,000 /1,000 /1,000 /1,000 /1,000 /1,000 /1,000 /1,000 /1,000 /1,000 /1,000 /1,000 /1,000 /1,000 /1,000 /1,000 /1,000 /1,000 /1,000 /1,000 /1,000 /1,000 /1,000 /1,000 /1,000 /1,000 /1,000 /1,000 /1,000 /1,000 /1,000 /1,000 /1,000 /1,000 /1,000 /1,000 /1,000 /1,000 /1,000 /1,000 /1,000 /1,000 /1,000 /1,000 /1,000 /1,000 /1,000 /1,000 /1,000 /1,000 /1,000 /1,000 /1,000 /1,000 /	
p.12 図10 (a)(b) (c) の脚注を追加	(C) 25.5 (E) 25.5 (D) 24.5 (N) 24.5 (N) 25.5 (N) 2	(C) 255 E 250 245 We 245 230 0 50 100 150 200 250 300 350 400 450 500 550 600 650 700 750 EBM(nm)	
	図10 グラファイト基板表面での 共役高分子一本鎖 ³⁾ 出典:図8、9、10とも K. Shinohara, T. Kitami, and K. Nakamae, <i>J. Polym. Sci. Part A:Ploym. Chem.</i> 42 , 3930(2004)	(a) 1回目のスキャンによるコンタクトAFM像 (b) 2回目のスキャンによるコンタクトAFM像 (c) a) 2010 グラファイト基板表面での 共役高分子一本鎖 3) 出典: 図8、9、10とも K. Shinohara, T. Kitami, and K. Nakamae, J. Polym. Sci. Part A:Ploym. Chem. 42, 3930(2004)	
p.12 ⊠11	(-)-Poly(MIOCAPA) H (a)凹凸像	(-)-Poly MIOCAPA) N-O	
p.15 本文8行目	図12 (c) のように、~	図13下のように、~	



<1>